

УДК 535.34=15+539.194

## ИНФРАКРАСНЫЕ СПЕКТРЫ И ВОДОРОДНЫЕ СВЯЗИ ГИДРОКСИЛОВ ХЛОРЗАМЕЩЕННЫХ ФЕНОЛОВ

### II. КОМПЛЕКСЫ С АЦЕТОНИТРИЛОМ

И. С. Перелыгин и Т. Ф. Ахунов

По полосам поглощения валентных колебаний гидроксильных групп изучены межмолекулярные водородные связи, образуемые фенолом и пятнадцатью егоmono-,ди-, три-, тетра- и пентахлорзамещенными производными с ацетонитрилом в среде  $\text{CCl}_4$ . Найдены корреляции спектроскопических и термодинамических величин, характеризующих указанные связи между собой и константами Гамметта заместителей.

В настоящем сообщении излагаются результаты спектроскопического изучения межмолекулярных водородных связей, образуемых молекулами фенола и пятнадцатью его хлорзамещенных производных (см. таблицу) с одним и тем же акцептором протона в среде  $\text{CCl}_4$ .

Изучение названных систем предоставляет благоприятную возможность исследования особенностей образования межмолекулярных водородных связей гидроксилодержащими соединениями и установления соотношений между их спектроскопическими и термодинамическими характеристиками.

В качестве акцептора протона использовался ацетонитрил. Выбор ацетонитрила объясняется как отсутствием у него собственных полос поглощения в области валентных колебаний группы O—H, так и оптимальной величиной смещения изучаемых полос в результате образуемых водородных связей, позволяющей, с одной стороны, избежать искажающего влияния на наблюдаемую спектральную картину резонанса Ферми [1, 2], а с другой — в силу достаточной удаленности смещенной полосы от полос поглощения мономерных молекул фенолов — исследование параметров обеих полос с достаточной точностью. Кроме того, общность исследованных методов позволяет сопоставить полученные результаты с найденными нами ранее [3] характеристиками комплексов ацетонитрила с хлорзамещенными спиртами.

Спектры получены на спектрофотометрах UR-20 и ИКС-14 с призмой из LiF. Спектральная ширина щели составляла  $5.7 \text{ см}^{-1}$ , скорость сканирования  $25 \text{ см}^{-1}/\text{мин}$ . Концентрация фенолов в каждой системе была постоянной и составляла  $0.003 \text{ М/л}$ . Концентрация ацетонитрила варьировалась от  $0.025$  до  $1 \text{ М/л}$ . При температурных исследованиях ( $20$ — $70^\circ \text{C}$ ) использовалась двухлучевая герметичная кювета с автоматической стабилизацией заданного значения температуры [4]. Прямые, описывающие корреляции величин, проводились по методу наименьших квадратов. Нумерация точек на рисунках дана согласно обозначению фенолов в таблице.

Полосы поглощения валентных колебаний гидроксильных групп мономерных молекул исследуемых фенолов в среде  $\text{CCl}_4$  описаны нами в [5]. Дублетное строение этих полос в фенолах II, V, VI, X и XI объяснено наличием изомеров в транс- и цис-конформациях. Последние стабилизированы внутримолекулярной водородной связью. В спектрах фенолов

Спектроскопические и термодинамические характеристики комплексов фенолов  
с ацетонитрилом в среде  $\text{CCl}_4$

| $\text{N}_{\text{N}} \text{ II./II.}$ | Фенолы                 | $\Sigma_{\sigma}$ | $\nu, \text{cm}^{-1}$ | $\nu_{\text{K}}, \text{cm}^{-1}$ | $\Delta\nu = \nu - \nu_{\text{K}}$<br>$\text{cm}^{-1}$ | $\Delta\nu_{1/2}^{\text{K}}, \text{cm}^{-1}$ | $A_{\text{K}} \cdot 10^{-4}, \text{l} \cdot \text{M}^{-1} \cdot \text{cm}^{-2}$ | $A_{\text{K}} \cdot 10^{-4}, \text{l} \cdot \text{M}^{-1} \cdot \text{cm}^{-2}$ | $K_{+22^\circ \text{C}}, \text{l} \cdot \text{M}^{-1}$ | $-\Delta H, \text{kcal./M}$ |
|---------------------------------------|------------------------|-------------------|-----------------------|----------------------------------|--|--|---|---|--|-----------------------------|
| I                                     | Фенол                  | 0.00              | 3608                  | 3441                             | 167  | 116  | 1.14  | 5.04  | 6.10   | 3.4                         |
| II                                    | Орто-хлор-фенол        | 0.40              | 3604                  | 3410                             | 194  | 148  | 1.02  | 5.30  | 0.60   | 3.8                         |
| III                                   | Пара-хлор-фенол        | 0.23              | 3606                  | 3423                             | 183  | 126  | 1.26  | 5.25  | 6.80   | 3.6                         |
| IV                                    | Мета-хлор-фенол        | 0.37              | 3604                  | 3412                             | 192  | 131  | 1.28  | 5.55  | 7.22   | 3.7                         |
| V                                     | 2,4-Дихлор-фенол       | 0.63              | 3601                  | 3389                             | 212  | 160  | 1.17  | 5.91  | 1.27   | 4.0                         |
| VI                                    | 2,5-Дихлор-фенол       | 0.77              | 3595                  | 3376                             | 219  | 165  | 1.23  | 6.10  | 1.84   | 4.2                         |
| VII                                   | 2,6-Дихлор-фенол       | 0.80              | 3600                  | 3386                             | 214  | 185  | 1.24  | 6.02  | 0.90   | 4.1                         |
| VIII                                  | 3,4-Дихлор-фенол       | 0.60              | 3601                  | 3395                             | 206  | 138  | 1.41  | 5.75  | 7.87   | 3.9                         |
| IX                                    | 3,5-Дихлор-фенол       | 0.74              | 3599                  | 3382                             | 217  | 142  | 1.42  | 5.96  | 8.30   | 4.1                         |
| X                                     | 2,3,4-Трихлор-фенол    | 1.00              | 3601                  | 3368                             | 233  | 175  | 1.15  | 6.20  | 2.30   | 4.4                         |
| XI                                    | 2,4,5-Трихлор-фенол    | 1.00              | 3590                  | 3356                             | 234  | 174  | 1.30  | 6.46  | 2.46   | 4.4                         |
| XII                                   | 2,3,6-Трихлор-фенол    | 1.17              | 3596                  | 3362                             | 234  | 202  | 1.21  | 6.35  | 1.50   | 4.3                         |
| XIII                                  | 2,4,6-Трихлор-фенол    | 1.03              | 3598                  | 3367                             | 231  | 200  | 1.40  | 6.23  | 1.44   | 4.3                         |
| XIV                                   | 3,4,5-Трихлор-фенол    | 0.97              | 3597                  | 3369                             | 228  | 150  | 1.43  | 6.27  | 9.00   | 4.3                         |
| XV                                    | 2,3,4,6-Тетрахлорфенол | 1.40              | 3594                  | 3344                             | 250  | 214  | 1.38  | 6.64  | 2.17   | 4.6                         |
| XVI                                   | Пента-хлор-фенол       | 1.77              | 3590                  | 3320                             | 270  | 230  | 1.53  | 7.10  | 2.81   | 4.8                         |

I, III, IV, VIII, IX и XIV наблюдаются только полосы поглощения транс-форм, а VII, XII, XIII, XV и XVI — только полосы поглощения внутримолекулярно связанных гидроксильных групп.

В тройных системах  $\text{CCl}_4$  + фенол + ацетонитрил наряду с полосами поглощения молекул фенолов, растворенных в чистом  $\text{CCl}_4$ , наблюдается появление новых, широких, смешенных в сторону меньших частот полос поглощения (рис. 1), увеличивающих свою интенсивность по мере увеличения концентрации ацетонитрила. Интенсивность полос поглощения, наблюдающихся в разбавленных растворах фенолов в чистом  $\text{CCl}_4$ , при этом уменьшается. Взаимозависимость интенсивностей этих полос в каждой системе свидетельствует о том, что и та и другая относятся к группе О—Н, а смешенные к низким частотам полосы следует отнести молекулам фенола, участвующим в межмолекулярных водородных связях  $\text{R}-\text{O}-\text{H}\dots\text{N}\equiv\text{C}-\text{CH}_3$ .

Параметры полос поглощения молекул фенолов, входящих в состав комплексов ( $\nu$ ,  $\Delta\nu_{1/2}^{\text{K}}$ ,  $A_{\text{K}}$ ), приведены в таблице. Здесь же указаны соответствующие значения ( $\nu$ ,  $A_{\text{K}}$ ) полос поглощения транс-форм мономерных молекул фенолов, растворенных в чистом  $\text{CCl}_4$ . Поскольку образование межмолекулярной водородной связи предполагает разрыв внутримолекулярного взаимодействия, значения  $\nu$  для тех фенолов, которые имеют только внутримолекулярно связанные гидроксильные группы, рассчитывались путем суммирования величин смешений полос поглощения транс-форм монозамещенных фенолов в результате введения атомов хлора соответственно в орто-, мета- и пара-положения.

Большие сдвиги ( $\Delta \nu$ ) и полуширины ( $\Delta \nu_{1/2}^k$ ) полос поглощения гидроксильных групп молекул фенолов, входящих в состав комплексов, зависят от концентрации ацетонитрила. Для фенола эта зависимость показана на рис. 2. Аналогичный эффект наблюдался и ранее рядом исследователей для комплексов гидроксилсодержащих соединений с акцепторами прото-

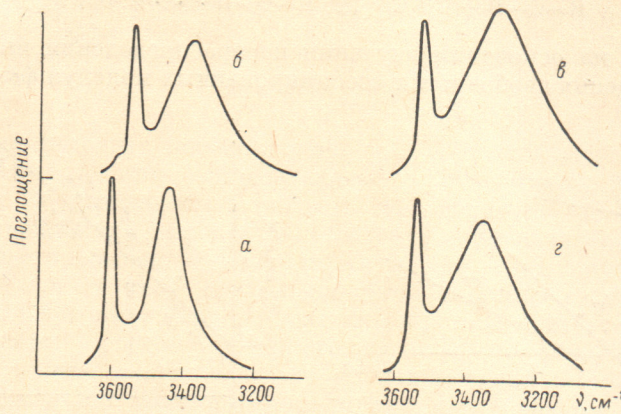


Рис. 1. Полосы поглощения валентных колебаний гидроксильных групп в тройных системах  $\text{CCl}_4 +$  фенол + ацетонитрил.

*a* — Фенол + ацетонитрил (0.2 М), *b* — 2,4-дихлорфенол + ацетонитрил (0.5 М), *c* — 2,4,6-трихлорфенол + ацетонитрил (1 М), *z* — пентахлорфенол + ацетонитрил (0.75 М). Концентрация фенолов во всех системах 0.003 М/л.

нов [6–12]. Возможные причины этого явления рассмотрены в работах [7, 9, 12]. Не вдаваясь в анализ этих причин, мы считаем наиболее целесообразным сопоставление значений  $\Delta \nu$  и  $\Delta \nu_{1/2}^k$  для комплексов различных доноров протона с одним и тем же акцептором при соответственно равных концентрациях и того и другого. Приведенные значения соответствуют концентрации ацетонитрила в 1 М/л.

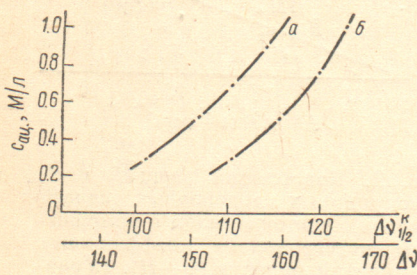


Рис. 2. Зависимость величины смещения (а) и полуширины (б) полосы поглощения молекулы фенола, входящей в состав комплекса, от концентрации ацетонитрила.

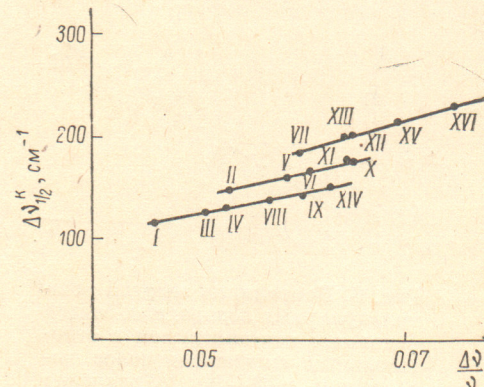


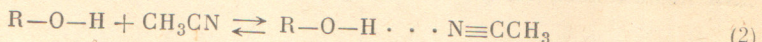
Рис. 3. Корреляция полуширины и относительных смещений полос поглощения гидроксильных групп фенолов, участвующих в межмолекулярной водородной связи с ацетонитрилом.

Значения  $\Delta \nu$ ,  $\Delta \nu_{1/2}^k$  и интегрального коэффициента поглощения смещенных полос ( $A_k$ ) зависят от положения заместителей в бензольном кольце и неуклонно растут по мере увеличения их числа. Корреляции величин  $\Delta \nu/\nu$  и  $\Delta \nu_{1/2}^k$  обнаруживают линейные зависимости для трех групп фенолов, имеющих одного, двух или не имеющих заместителей в орто-положении (рис. 3). Все три прямые пересекаются в одной точке на оси ординат, соответствующей значению  $\Delta \nu_{1/2}^k = 24 \text{ см}^{-1}$ .

## Константы равновесия

$$K = \frac{c_k}{c_\phi c_{\text{ап.}}} \quad (1)$$

реакций образования комплексов с водородной связью



можно найти на основании изучения перераспределения интенсивностей полос поглощения свободных и ассоциированных молекул фенолов при из-

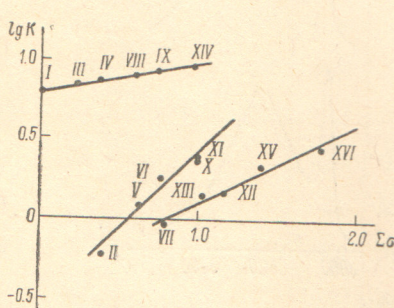


Рис. 4. Зависимость константы ассоциации фенолов с ацетонитрилом от суммарной константы Гамметта заместителей.

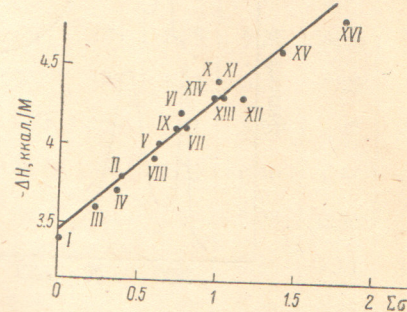


Рис. 5. Зависимость энергий межмолекулярных водородных связей фенолов с ацетонитрилом от суммарной константы Гамметта заместителей.

менении концентрации акцептора протона в тройных смесях, воспользовавшись уравнением [3]

$$\frac{c_\phi^0 c_{\text{ап.}}^0}{B_k/d} = \frac{1}{A_k} (c_\phi^0 + c_{\text{ап.}}^0) + \frac{1}{KA_k}, \quad (3)$$

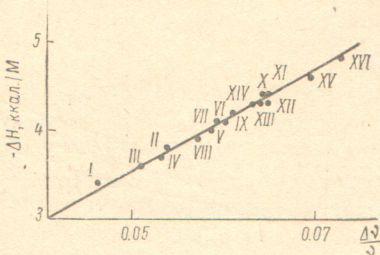


Рис. 6. Корреляция энергий межмолекулярных водородных связей фенолов с ацетонитрилом с относительным смещением полос поглощения ν(O-H). (Уравнение прямой:  $-\Delta H = 65\Delta\nu/\nu$ ).

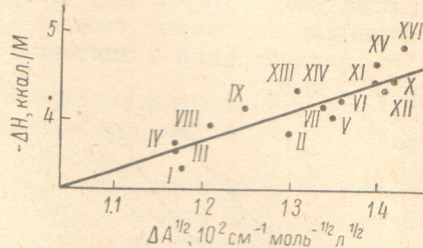


Рис. 7. Корреляция энергий межмолекулярных водородных связей фенолов с ацетонитрилом с приращением интегрального коэффициента поглощения полосы ν(O-H). (Уравнение прямой:  $-\Delta H = 3.06\Delta A^{1/2}$ ).

где  $c_\phi^0$  и  $c_{\text{ап.}}^0$  — начальные концентрации фенолов и ацетонитрила;  $c_k$ ,  $c_\phi$  и  $c_{\text{ап.}}$  — соответственно концентрации комплексов, мономерных молекул фенола и ацетонитрила в тройных смесях,

$$B_k = \int \ln \frac{I_0}{I} d\nu,$$

$d$  — толщина кюветы.

Значения  $K$  при комнатной температуре приведены в таблице. Сопоставление значений  $\lg K$  с суммой констант Гамметта ( $\Sigma\sigma$ ) [13, 14], характеризующих полный (индуктивный и резонансный) эффект введения электроотрицательных заместителей в радикал фенолов, обнаруживает

наличие трех линейных зависимостей для указанных выше групп фенолов (рис. 4). Они наглядно показывают существенное уменьшение констант ассоциации при введении заместителей в орто-положения. В пределах же каждой группы ассоциация растет по мере увеличения константы Гаммета.

Temperaturnaya зависимость констант равновесия, согласно уравнению Вант-Гоффа

$$\ln K = -\frac{\Delta H}{RT} + \frac{\Delta S}{R}, \quad (4)$$

позволяет определить значения энергий ( $-\Delta H$ ) образующихся водородных связей. Их значения, определенные с относительной погрешностью  $\pm 0.2$  ккал./М, приведены в таблице. Как видно из таблицы, они растут по мере увеличения эффекта заместителей, причем зависимость величин  $-\Delta H$  и  $\Sigma \sigma$  описывается одной прямой для всех изученных фенолов (рис. 5). Если за меру протонодонорной способности фенолов принять энергию образующихся водородных связей, то можно утверждать, что она линейно растет с ростом суммарного эффекта заместителей и в отличие от константы ассоциации не зависит от их положения в бензольном кольце.

Значения  $-\Delta H$  линейно коррелируют как с величинами относительных смещений полос поглощения (рис. 6), так и со значениями  $\Delta A^{1/2} = A_{\text{к}}^{1/2} - A_{\text{м}}^{1/2}$  (рис. 7), характеризующими приращение интегрального коэффициента поглощения полосы гидроксильной группы в результате образования водородной связи [15]. Большой разброс точек во втором случае, по-видимому, обусловлен большей погрешностью в измерениях интегрального коэффициента поглощения по сравнению с точностью определения положения полос.

#### Литература

- [1] A. Hall, J. L. Wood. Spectrochim. Acta, 23A, 1257, 1967.
- [2] Б. В. Рассадин, А. В. Иогансен. Ж. прикл. спектр., 10, 290, 1969.
- [3] А. К. Хайретдинова, И. С. Переягин. Опт. и спектр., 26, 62, 1969.
- [4] Т. Ф. Ахунов, И. С. Переягин. VII Сибирское Совещание по спектроскопии. Тез. докл., 6. Кемерово, 1969.
- [5] И. С. Переягин, Т. Ф. Ахунов. Опт. и спектр., 29, 516, 1970.
- [6] I. Finch, E. Lippincott. J. Phys. Chem., 61, 894, 1957.
- [7] M. van Thiel, E. F. Becker, G. C. Pimentel. J. Chem. Phys., 27, 95, 1957.
- [8] E. D. Becker. Spectrochim. Acta, 17, 436, 1961.
- [9] A. Allerhand, P. R. Schleyer. J. Am. Chem. Soc., 85, 371, 1963.
- [10] D. A. Jones, J. G. Watkinson. J. Chem. Soc., 2366, 1964.
- [11] S. C. White, H. W. Thompson. Proc. Roy. Soc., A291, 460, 1966.
- [12] L. J. Bellamy, K. J. Morgan, R. J. Pace. Spectrochim. Acta, 22, 535, 1966.
- [13] H. W. Thompson, G. Stell. Trans. Farad. Soc., 52, 1451, 1956.
- [14] M. Chorton. J. Am. Chem. Soc., 86, 2033, 1964.
- [15] А. В. Иогансен. Докт. дисс., М., 1969.

Поступило в Редакцию 16 апреля 1970 г.